



UNIVERSIDADE FEDERAL DO PARÁ  
INSTITUTO DE TECNOLOGIA  
PROGRAMA DE PÓS-GRADUAÇÃO EM ENGENHARIA ELÉTRICA

MERCEDES MARIA BARBOSA DINIZ

**TEORIA DE SISTEMAS LINEARES  
ATIVIDADE 1**

BELÉM  
2025

MERCEDES MARIA BARBOSA DINIZ

TEORIA DE SISTEMAS LINEARES  
ATIVIDADE 1

Relatório com requisito para obtenção parcial de nota na disciplina de Teoria de Sistemas Lineares, ministrada pelo Professor. Antonio da Silva Silveira

BELÉM  
2025

## Sumário

<b>1</b>	<b>Introdução</b>	<b>4</b>
<b>2</b>	<b>Modelagem da Planta</b>	<b>4</b>
<b>3</b>	<b>Projeto dos Controladores</b>	<b>6</b>
3.1	Controlador PID	6
3.2	Controlador PI-D	8
<b>4</b>	<b>Resultados e Discussões</b>	<b>9</b>

## Lista de Figuras

1.1	Conjunto de dados experimentais disponibilizados.	4
2.1	Comparação das plantas modeladas com o sinal original.	5
3.1	Diagrama do sistema com o controlador PID.	6
3.2	Resposta do sistema com PID.	7
3.3	Diagrama do sistema com o controlador PI-D.	8
3.4	Resposta do sistema com PI-D.	9
4.1	Simulação com um perturbação de carga de 30%.	10

## Lista de Tabelas

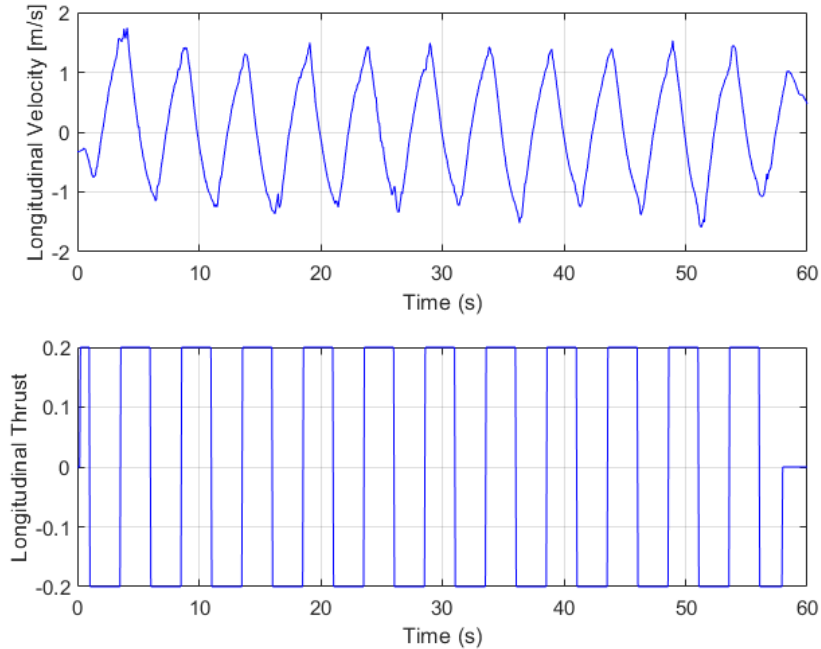
1	Índices de desempenho dos controladores na simulação com perturbação.	10
---	---	----

# 1 Introdução

Esta atividade tem como objetivo revisar os conceitos relacionados ao projeto de controladores PID digitais, aplicando-os no controle da velocidade longitudinal de um quadricóptero. Para isso, foi utilizado um conjunto de dados experimentais, exibido na Figura 1.1 e disponibilizado em <https://lacos.ufpa.br/plantas/ardrone/ardrone.html>, a partir do qual foram desenvolvidos dois modelos da planta: um modelo de segunda ordem, empregado na etapa de projeto e sintonia do controlador, e um modelo de terceira ordem, utilizado posteriormente nas simulações para validação dos controladores.

A sintonia do controlador PID foi realizada manualmente, com base no modelo de segunda ordem, e os ganhos obtidos também foram aplicados na estrutura PI-D, conforme previsto na atividade. Em seguida, ambos os controladores foram testados em simulação no modelo de terceira ordem, com a realização de dois experimentos principais: seguimento de referência do tipo degrau unitário e rejeição de perturbação de carga correspondente a 30% da referência.

Figura 1.1: Conjunto de dados experimentais disponibilizados.



## 2 Modelagem da Planta

O primeiro passo para a síntese dos controladores foi a modelagem do sistema dinâmico correspondente à velocidade longitudinal do quadricóptero. Para isso, foi utilizada uma abordagem baseada em dados experimentais, a partir dos quais se buscou identificar representações discretas do sistema.

O modelo de segunda ordem foi escolhido para representar uma aproximação simplificada da planta. Sua função de transferência discreta foi estruturada na forma:

$$G_1(z) = \frac{Y(z)}{U(z)} = \frac{b_0 z^{-1} + b_1 z^{-2}}{1 + a_1 z^{-1} + a_2 z^{-2}} \quad (1)$$

A partir dessa representação no domínio  $z$ , obtém-se diretamente a equação a diferenças correspondente, que descreve o comportamento do sistema no tempo discreto:

$$y[n] = -a_1.y[n-1] - a_2.y[n-2] + b_0.u[n-1] + b_1.u[n-2] \quad (2)$$

Complementarmente, um modelo de terceira ordem foi identificado para capturar de forma mais precisa as dinâmicas da planta, incluindo eventuais efeitos de modos mais rápidos ou atrasos internos. A função de transferência proposta para esse modelo é expressa por:

$$G_2(z) = \frac{Y(z)}{U(z)} = \frac{b_0 z^{-1} + b_1 z^{-2} + b_2 z^{-3}}{1 + a_1 z^{-1} + a_2 z^{-2} + a_3 z^{-3}} \quad (3)$$

o que, no domínio do tempo discreto, resulta na equação a diferenças:

$$y[n] = -a_1.y[n-1] - a_2.y[n-2] - a_3.y[n-3] + b_0.u[n-1] + b_1.u[n-2] + b_2.u[n-3] \quad (4)$$

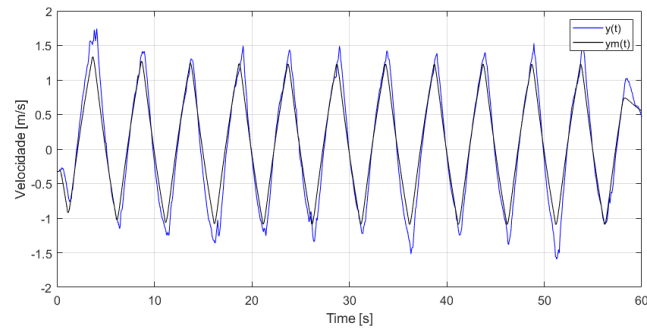
Para a obtenção dos coeficientes dos modelos, utilizou-se o método dos mínimos quadrados, técnica clássica de identificação paramétrica. Nesse método, busca-se minimizar o erro quadrático entre as saídas medidas e as saídas estimadas pelo modelo. Denotando por  $\mathbf{Y}$  o vetor de saídas medidas, por  $\Phi$  a matriz de regressores (formada pelas saídas e entradas passadas), e por  $\hat{\theta}$  o vetor de parâmetros a serem ajustados, a solução ótima é dada por:

$$\hat{\theta} = (\Phi^T \Phi)^{-1} \Phi^T \mathbf{Y} \quad (5)$$

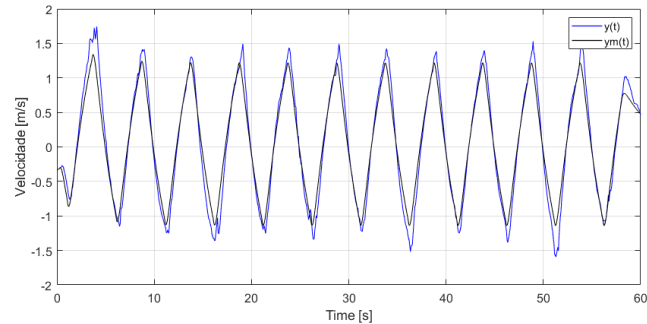
É importante destacar que a matriz  $\Phi^T \Phi$  precisa ser inversível para que a solução acima exista. Este método assume que os dados são suficientemente persistentes para excitar todas as dinâmicas relevantes da planta, e que os efeitos de ruído e de modelagem não nula são desprezáveis em comparação ao sinal útil.

Na Figura 2.1 pode-se observar nas curvas em preto os modelos gerados em comparação com o sinal real do *datalog*, destacado em azul.

Figura 2.1: Comparação das plantas modeladas com o sinal original.



(a) Modelo de 2ª Ordem.



(b) Modelo de 3ª Ordem.

### 3 Projeto dos Controladores

A etapa seguinte consistiu no projeto dos controladores digitais para o sistema. Como solicitado, os sinais de controle foram limitados entre  $-1$  e  $1$ . A síntese dos controladores foi realizada a partir da aproximação conhecida como *Backward Difference*, que permite transformar a ação contínua do PID em uma forma discreta compatível com sistemas digitais dado a seguinte aproximação do valor de  $s$ :

$$s := \frac{1 - Z^{-1}}{T_s} \quad (6)$$

Nesta abordagem, os ganhos contínuos do PID,  $K_p$ ,  $K_i$  e  $K_d$ , são convertidos nos parâmetros discretos  $s_0$ ,  $s_1$  e  $s_2$  através das expressões:

$$s_0 = K_p + K_i T_s + \frac{K_d}{T_s} \quad s_1 = -K_p - 2\frac{K_d}{T_s} \quad s_2 = \frac{K_d}{T_s} \quad (7)$$

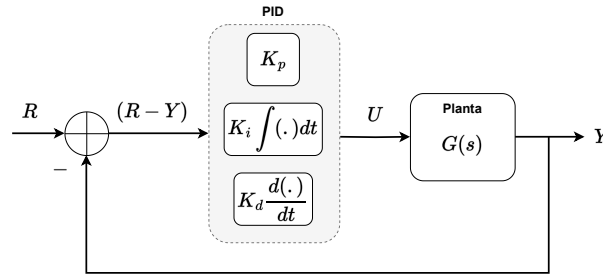
#### 3.1 Controlador PID

O controlador PID contínuo utilizado nesta atividade é descrito pela equação 8, onde  $U(s)$  representa o sinal de controle no domínio de Laplace,  $R(s)$  é o sinal de referência,  $Y(s)$  é a saída do sistema e os parâmetros  $k_p$ ,  $k_i$  e  $k_d$  correspondem aos ganhos proporcional, integral e derivativo, respectivamente.

$$U(s) = \left( k_p + k_i \frac{1}{s} + k_d s \right) \times (R(s) - Y(s)) \quad (8)$$

A Figura 3.1 ilustra o diagrama em bloco do sistema de controle em malha fechada com realimentação unitária, contendo o controlador PID e a planta. O sinal de erro, obtido da diferença entre a referência e a saída do sistema, é processado pelas ações proporcional, integral e derivativa para gerar o sinal de controle  $u(t)$ .

Figura 3.1: Diagrama do sistema com o controlador PID.

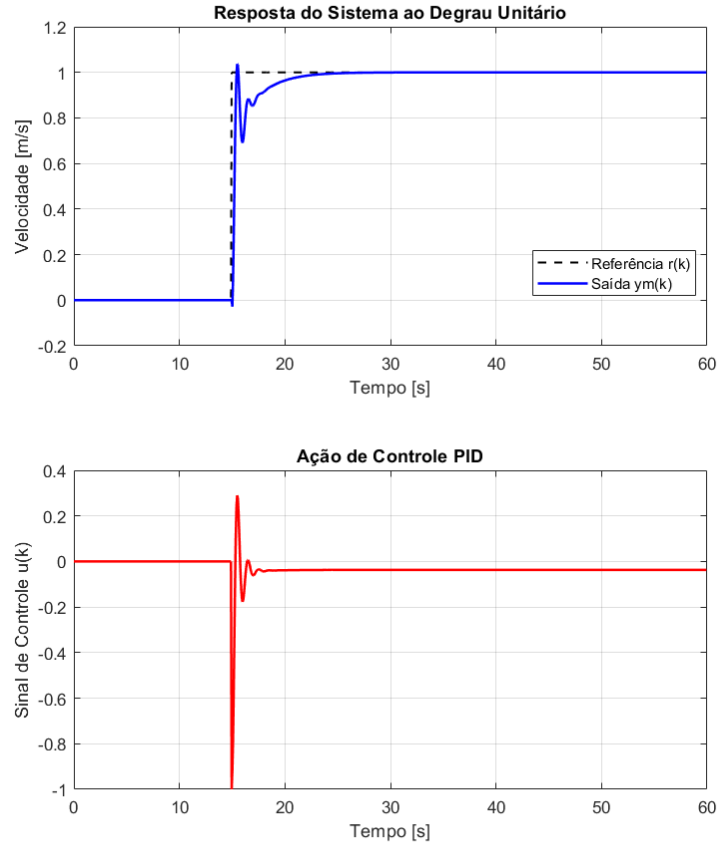


Para implementação em tempo discreto, o controlador foi discretizado utilizando a aproximação por diferenças retroativas (*Backward Difference*), conforme indicado na equação 9. Nessa equação,  $T_s$  representa o período de amostragem e  $z^{-1}$  é o operador de atraso unitário. A equação é reorganizada em uma forma recursiva, onde os termos  $s_0$ ,  $s_1$  e  $s_2$  agregam os efeitos dos ganhos  $k_p$ ,  $k_i$  e  $k_d$  em cada termo do erro com atraso.

$$\begin{aligned}
u[k] &= \left( k_p + k_i \frac{T_s}{1 - z^{-1}} + k_d \frac{1 - z^{-1}}{T_s} \right) \times (r[k] - y[k]) \\
\Rightarrow u[k] \times (1 - z^{-1}) &= \left( k_p + k_i \frac{T_s}{1 - z^{-1}} + k_d \frac{1 - z^{-1}}{T_s} \right) \times (r[k] - y[k]) \times (1 - z^{-1}) \\
\Rightarrow u[k] - u[k-1] &= \left[ k_p - k_p z^{-1} + k_i T_s + \frac{k_d}{T_s} \cdot (1 - 2z^{-1} + z^{-2}) \right] \times (r[k] - y[k]) \\
\Rightarrow u[k] &= u[k-1] + \left( k_p + k_i T_s + \frac{k_d}{T_s} \right) \times (r[k] - y[k]) + \left( -k_p - \frac{2k_d}{T_s} \right) \times (r[k-1] - y[k-1]) \\
&\quad + \left( \frac{k_d}{T_s} \right) \times (r[k-2] - y[k-2]) \\
\therefore u[k] &= u[k-1] + s_0 \times (r[k] - y[k]) + s_1 \times (r[k-1] - y[k-1]) + s_2 \times (r[k-2] - y[k-2])
\end{aligned} \tag{9}$$

Os ganhos utilizados na sintonia foram  $k_p = -1.2$ ,  $k_i = -0.5$  e  $k_d = -0.01$ . A resposta do sistema ao degrau unitário, com o controlador PID aplicado ao modelo de segunda ordem, é apresentada na Figura 3.2. Nessa simulação, observa-se que o sistema atingiu a referência com sobressinal de aproximadamente 3.68% e tempo de assentamento de 4.22 segundos, atendendo aos critérios de desempenho especificados.

Figura 3.2: Resposta do sistema com PID.



### 3.2 Controlador PI-D

O controlador PI-D é uma variação da estrutura PID em que a ação derivativa atua apenas sobre a saída do sistema, evitando amplificação de ruído no sinal de referência. A equação contínua do controlador PI-D está apresentada na equação 10.

$$U(s) = \left( k_p + k_i \frac{1}{s} \right) R(s) - \left( k_p + k_i \frac{1}{s} + k_d s \right) Y(s) \quad (10)$$

A Figura 3.3 apresenta o diagrama de blocos do sistema com controlador PI-D, evidenciando que a ação derivativa incide apenas sobre o caminho da realimentação, enquanto o sinal de referência passa apenas pelas ações proporcional e integral.

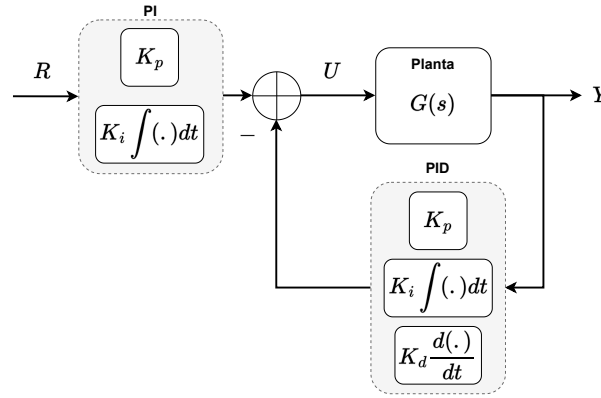


Figura 3.3: Diagrama do sistema com o controlador PI-D.

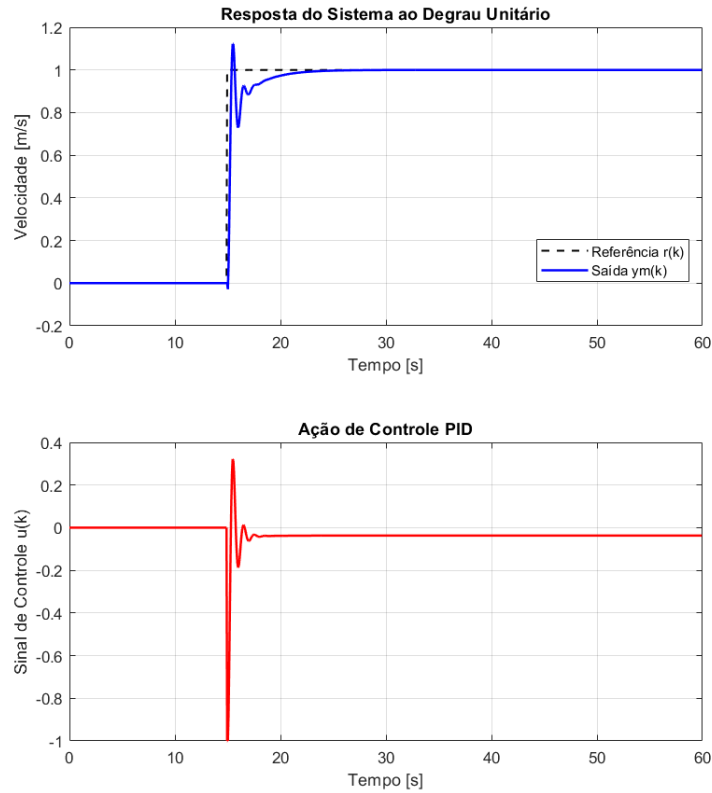
A discretização do controlador PI-D foi realizada utilizando a aproximação *Backward Difference*. O procedimento de discretização, apresentado na equação 11, resulta em uma equação recursiva que expressa o sinal de controle  $u[k]$  em função dos valores atuais e passados da referência  $r[k]$  e da saída do sistema  $y[k]$ .

$$\begin{aligned} u[k] &= \left( k_p + k_i \frac{T_s}{1 - z^{-1}} \right) r[k] - \left( k_p + k_i \frac{T_s}{1 - z^{-1}} + k_d \frac{1 - z^{-1}}{T_s} \right) y[k] \\ \Rightarrow u[k](1 - z^{-1}) &= \left[ \left( k_p + k_i \frac{T_s}{1 - z^{-1}} \right) r[k] - \left( k_p + k_i \frac{T_s}{1 - z^{-1}} + k_d \frac{1 - z^{-1}}{T_s} \right) y[k] \right] (1 - z^{-1}) \\ \Rightarrow u[k] - u[k-1] &= (k_p - k_p z^{-1} + k_i T_s) r[k] - \left( k_p - k_p z^{-1} + k_i T_s + \frac{k_d}{T_s} (1 - 2z^{-1} + z^{-2}) \right) y[k] \quad (11) \\ \Rightarrow u[k] &= u[k-1] + (k_p + k_i T_s) r[k] + (-k_p) r[k-1] \\ &\quad - \left[ \left( k_p + k_i T_s + \frac{k_d}{T_s} \right) y[k] + \left( -k_p - \frac{2k_d}{T_s} \right) y[k-1] + \left( \frac{k_d}{T_s} \right) y[k-2] \right] \\ \therefore u[k] &= u[k-1] + (k_p + k_i T_s) r[k] + (-k_p) r[k-1] - (s_0 y[k] + s_1 y[k-1] + s_2 y[k-2]) \end{aligned}$$

Conforme solicitado, os valores dos ganhos do controlador PI-D foram os mesmos utilizados na sintonia do controlador PID:  $k_p = -1.2$ ,  $k_i = -0.5$  e  $k_d = -0.01$ . A Figura 3.4 apresenta a resposta do sistema ao degrau unitário com o controlador PI-D aplicado ao modelo de segunda ordem. Nessa simulação, observa-se que o sistema atingiu a referência com um sobressinal de aproximadamente 12.24% e tempo de assentamento de 3.51 segundos.



Figura 3.4: Resposta do sistema com PI-D.



## 4 Resultados e Discussões

Após o projeto e sintonia dos controladores, a etapa de validação foi realizada com simulações no modelo de terceira ordem da planta. O objetivo foi observar o desempenho dos controladores PID e PI-D no cenário: o seguimento de uma referência do tipo degrau unitário com rejeição de uma perturbação de carga correspondente a 30% do valor da referência, introduzida na saída no instante de 30 segundos.

A Figura 4.1 apresenta os resultados da simulação, nela é possível observar que, até o instante da perturbação, ambos os controladores acompanham a referência de forma satisfatória, embora com um sobressinal maior do observado na etapa de sintonia. Quando a perturbação é aplicada, nota-se um desvio na saída, seguido por uma ação corretiva do controlador para retomar a referência.

Para uma análise mais quantitativa do desempenho dos controladores, foram considerados quatro índices principais: a energia ( $E$ ) e a potência média ( $P$ ) do sinal de controle, o erro quadrático integral (ISE) e o erro médio quadrático normalizado (NMSE). A Tabela 1 apresenta os valores obtidos para cada índice, nela pode-se observar que ambos os controladores apresentaram desempenhos similares em termos de erro e consumo energético. O controlador PID apresentou ligeiramente menor energia acumulada e ISE, e o valor de NMSE próximo de zero para ambos os controladores indica um bom rastreamento da referência, mesmo na presença da perturbação.

Figura 4.1: Simulação com um perturbação de carga de 30%.

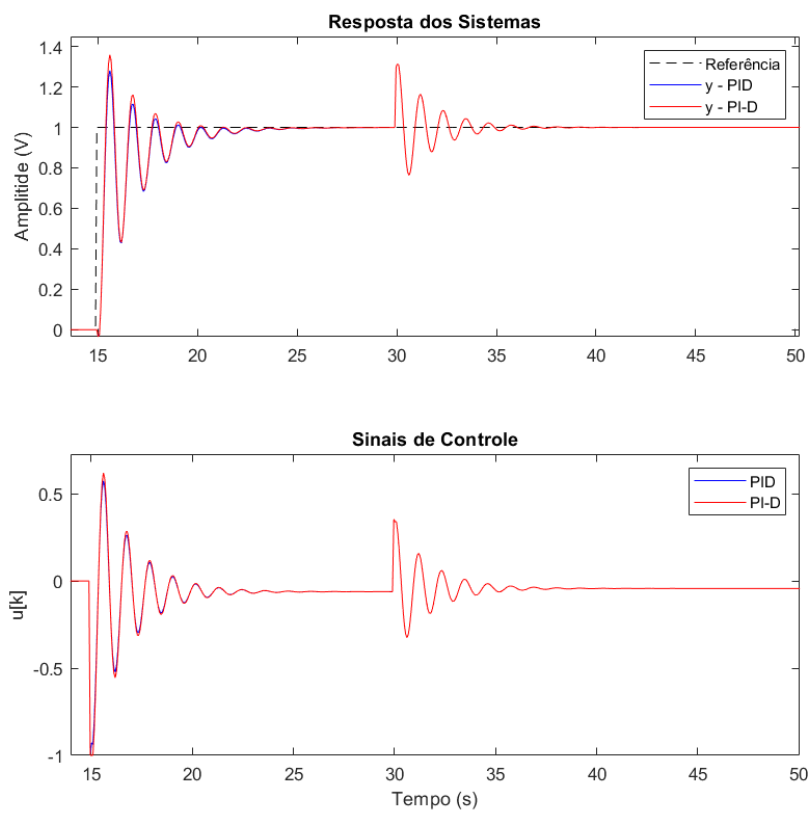


Tabela 1: Índices de desempenho dos controladores na simulação com perturbação.

	<b>PID</b>	<b>PI-D</b>
<b>E</b>	10.20	11.17
<b>P</b>	0.01	0.01
<b>ISE</b>	8.59	8.60
<b>NMSE</b>	0.01	0.01